

# 系统辨识在变推力火箭发动机系统建模中的应用

王 克 昌

## 摘要

本文根据国外关于系统辨识的基本方法，结合国内BYF发动机实验数据，利用不同辨识计算方法对BYF发动机进行了模型及参数辨识，并取得了满意的结果。结果表明，发动机系统的辨识研究十分重要，它可以提高建立数学模型的准确性和效率，并为自校正控制的实现奠定了基础。

## 一、引言

液体火箭发动机系统是个复杂的系统。人们一直十分重视其静态特性、动态特性的研究。而近几年来，用系统分析的方法分析发动机系统的动态性能日益受到普遍的重视。国内外已有不少人相继进行了大量工作。文献(1)中详细地叙述了根据发动机系统内在的物理，化学规律，通过一定的假设，直接推出了BYF发动机系统的数学模型，并得出了一些对研制工作有价值结论。其系统工作原理及控制系统方块图如图1，图2所示。

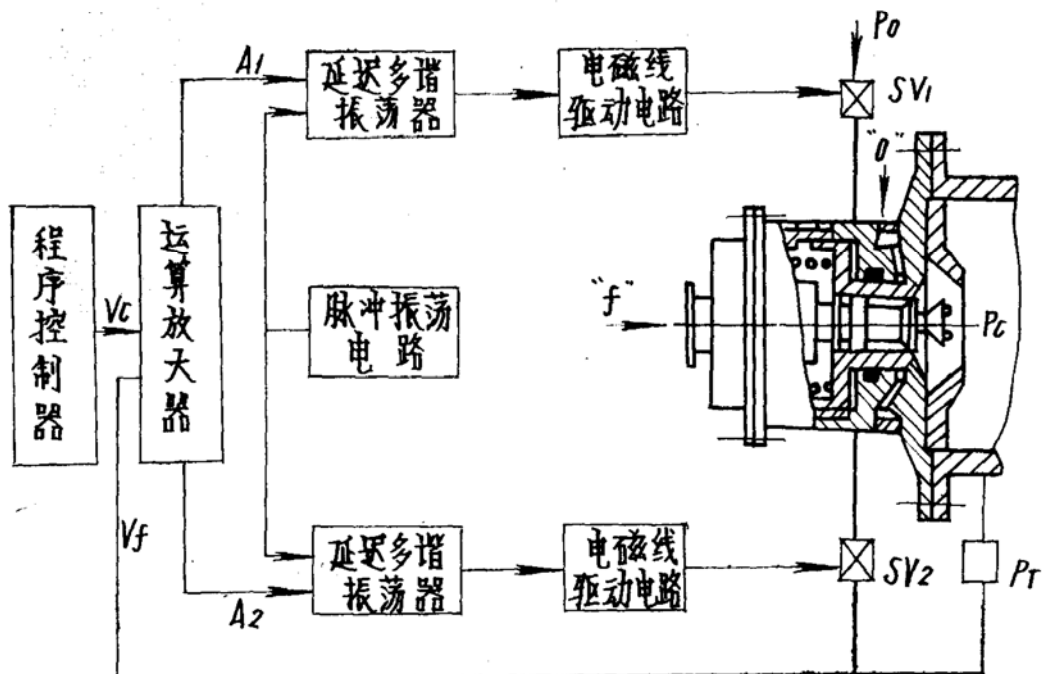


图1 变推力控制系统工作原理图

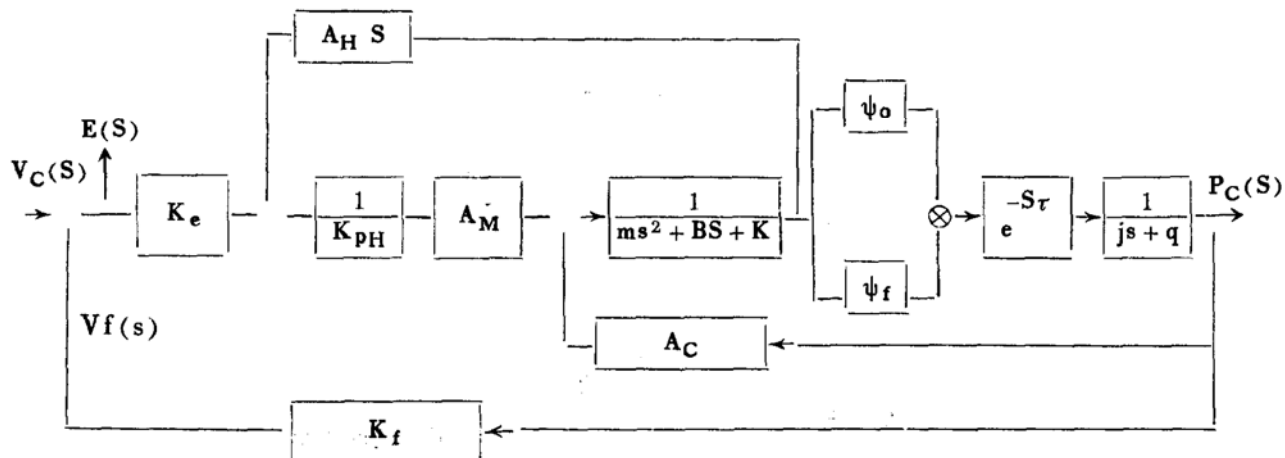


图 2 控制系统方块图

据此可列出系统诸元件的环节方程并在额定值附近进行线性化，最后得到整个系统的闭环传递函数为

$$G_{cs} = \frac{K_e K_c \frac{A_H}{K_{pH}}}{ms^2 + \left(B + \frac{A_H^2}{K_{pH}}\right)s + K - K_c A_c + K_e K_c K_f \frac{A_H}{K_{pH}}} \quad (1)$$

式中  $m$ ——喷注器针阀质量  $A_H$ ——控制腔作动面积  
 $K_e$ ——电磁阀流量增益系数  $K_{pH}$ ——控制腔压力影响系数  
 $K_c$ ——喷注器增益系数  $B$ ——针阀运动阻尼系数  
 $K_f$ ——反馈传感器放大系数  $K$ ——喷注器弹簧刚度。

上述研究与大量的试验数据仔细比较后，可以发现该模型与实验结果一致性欠差。特别是不能解释BYF发动机系统不同推力值时 $P_C$ 过渡过程的明显差异。这表明，文献(1)中建立的数学模型（由于推导过程中的若干假设以及若干参数的选取上欠妥）有一定的局限性。从而不能真实地模拟发动机系统的动态性能。

众所周知，随着现代控制理论的飞速发展以及电子计算机的广泛使用，使得利用观察（试验）数据建立模型的方法——系统辨识日益受到人们的高度重视。利用它可以迅速地、准确地建立发动机系统的数学模型，这种模型能正确地反映系统的实时状态，从而为今后的发动机实时控制提供了极为重要的条件。为此，目前已着手进行变推力火箭发动机系统的辨识工作。

## 二、系统辨识方法简述

十几年来，系统辨认作为现代控制理论的一个重要分支有了重大进展。提出了各种各样的算法。而且在各个领域都有广泛的应用。

简单地说，系统辨识就是利用系统的试验（或运行）数据构造系统的数学模型和估计参数的理论和方法。也就是说，对实际系统进行试验和观测，分析观察到的输入和输出数据，建立一个数学模型，并根据一定的准则，使该数学模型所代表的系统尽可能等价于所观察的系统。系统辨识的方块图如图3所示。

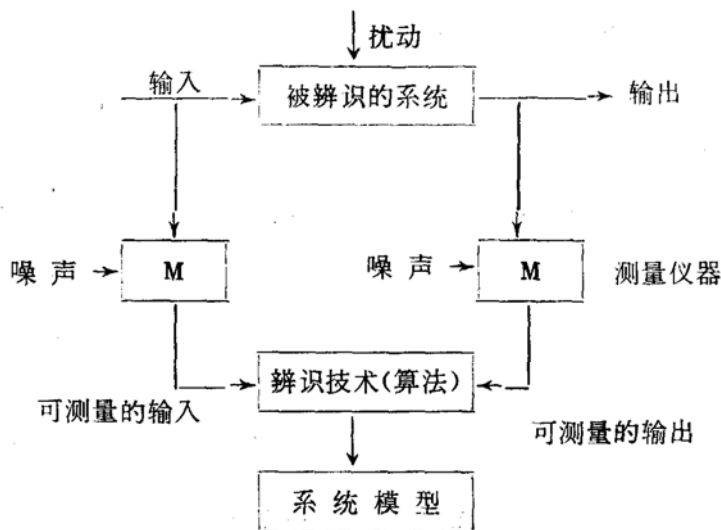


图3 系统辨识问题的方块图

根据文献〔2〕提供的基本方法，结合我们研制BYF发动机系统的试验数据。我们用各种辨识算法对BYF发动机系统进行了模型及参数辨识。所采用的方法如图4所示。

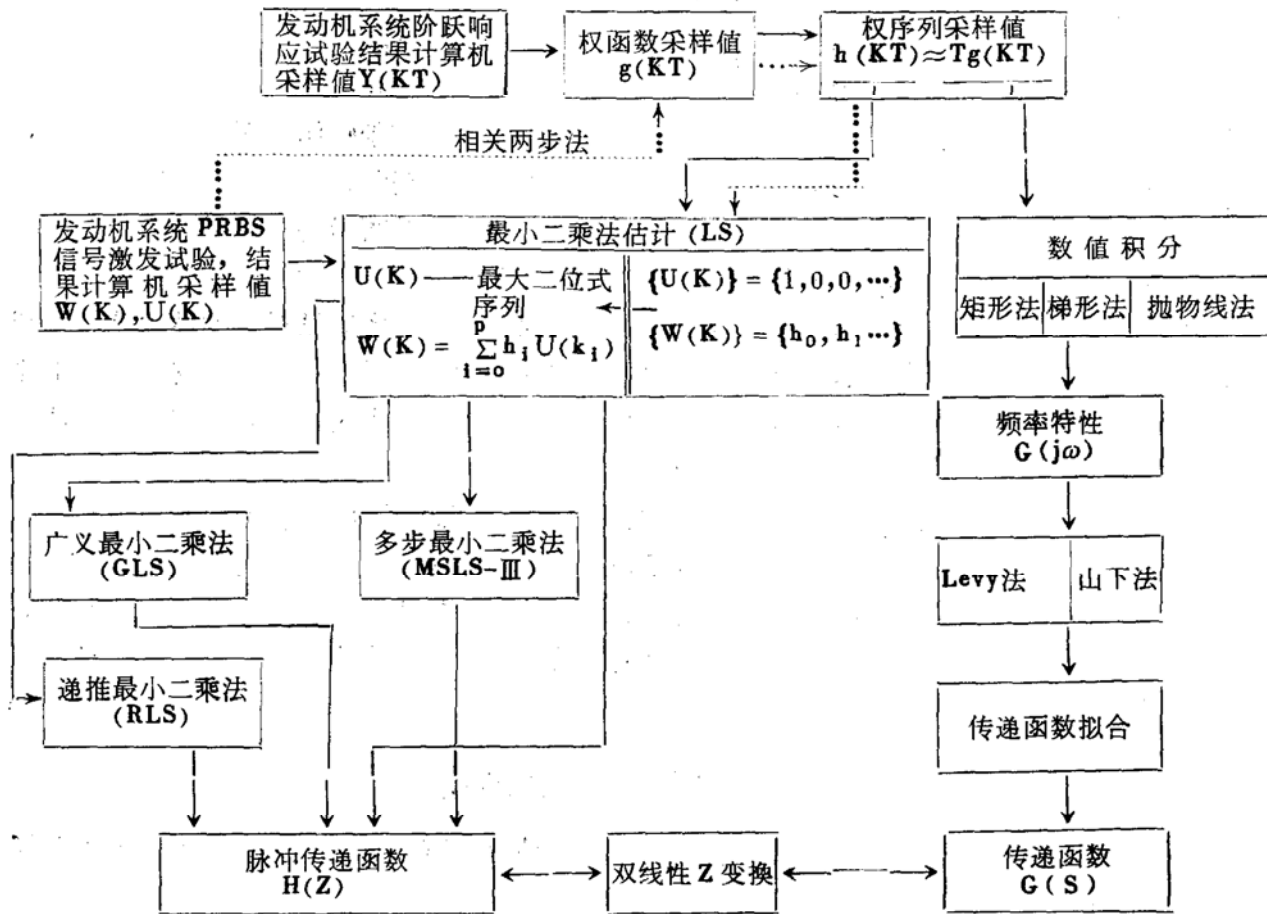


图4 BYF系列发动机系统辨识方法框图

图4中所列各种方法的计算公式可从文献〔3〕中查得。

根据BYF发动机系统目前所能得到的试验数据，辨识工作可从两条路线来进行。

## 1. 利用BYF发动机系统的常规热试车数据

在BYF发动机系统中，每一次推力的调节均是递增地增加1伏控制电压，那么，其燃烧室压力的变化曲线就相当于一个阶跃响应曲线。这个阶跃响应曲线在试验时可以通过两种手段获取。通常是采用16线示波器进行记录，然后进行人工采集。另一个手段是通过TRS-80微处理系统直接采集 $P_c$ 的数据，从而形成采样值 $P_c(K\Delta T)$ 。

从自动控制理论可知：在单位脉冲信号作用下系统的输出 $g(t)$ 是单位阶跃信号作用于系统的输出 $h(t)$ 的导数，即：

$$g(t) = \frac{d}{dt} h(t) \quad (2)$$

若 $h(t)$ 到 $t = T$ 时才稳定，则按照香农(Shannon)采样定理，可以把 $(0 \sim T)$ 这段时间分成 $N$ 等分。其对应的阶跃响应曲线的值为 $h(t_i)$ ， $i = 0, 1, \dots, N$ 。

$$N \geq \frac{\omega_n T}{\pi} \quad \omega_n \text{——为系统最大的工作角频率。}$$

$$\Delta T = t_{i+1} - t_i = \frac{T}{N} \quad (i = 0, 1, 2, \dots, N-1)$$

采取二点差分作其中点处的导数值，则(2)式可写成离散形式。

$$g(t_i) = \frac{h(t_{i+1}) - h(t_{i-1})}{2\Delta T} \quad (i = 1, 2, \dots, N-1) \quad (3)$$

而其两端的值可分别取为

$$g(t_0) = \frac{h(t_1) - h(t_0)}{\Delta T}, \quad g(t_N) = 0 \quad (4)$$

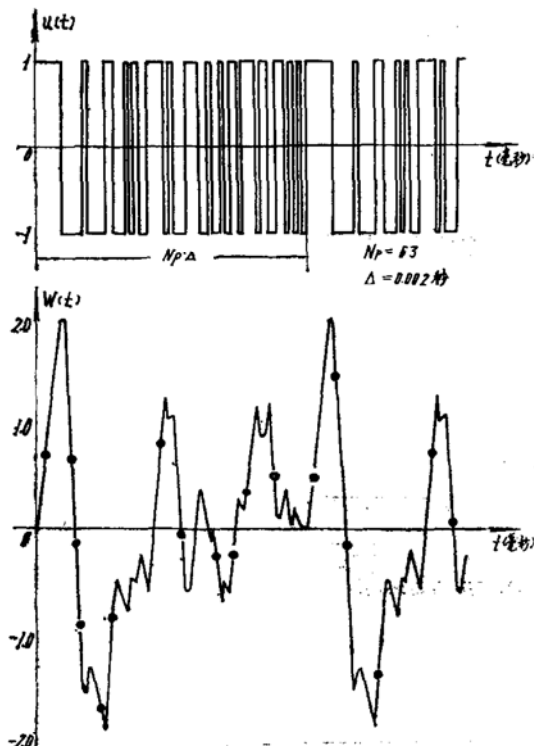


图5 PRBS信激励系统的输入输出信号

这样一来，我们就得到了系统的权函数 $g(t)$ 的采样值 $g(K\Delta T)$ ，此处 $\Delta T$ 为采样周期。

有了 $g(t)$ 就可通过傅氏积分求得频率特性 $G(j\omega)$ ，然后可分别用Levy法和山下法拟合出BYF发动机系统的传递函数 $G(S)$ 。同样从 $g(t)$ 可以用最小二乘估计，广义最小二乘法，多步最小二乘法等时域方法求得BYF发动机系统的脉冲传递函数 $H(Z)$ 。经过双线性变换后就可求得系统的传递函数。

2. 在发动机试验时，直接给发动机系统施加一个由伪随机信号发生器产生的，接近白噪声信号的伪随机二位式序列(PRBS)。来激励BYF发动机系统，并采集输入输出信息。

这种PRBS信号是一个周期性序列。在它激励下，可测得燃烧室压力 $P_c$ 的响应序列。其典型数据如图5所示。而一旦有了 $U(K)$ ， $W(K)$ 序列后，就可直接用各种时域方法进行模

型的辨识计算。

### 3. 辨识计算分析

现将用各种常用的辨识方法对BYF发动机系统进行辨识计算的结果分别以表和曲线列于表1和图6,7,8,9,10中。

表1 各种辨识方法结果——参数估值比较(二阶模型)

| 辨识结果<br>参<br>数<br>辨识方法 | $a_1$        | $a_2$       | $b_0$  | $b_1$         | $b_2$         | $c_1$       | $c_2$         |
|------------------------|--------------|-------------|--------|---------------|---------------|-------------|---------------|
| Levy法(矩形)              | 0.8140 E -2  | 0.6484 E -4 | 2.200  | - 0.1419 E -1 | 0.3792 E -4   | —           | —             |
| Levy法(梯形)              | 0.8444 E -2  | 0.644 E -4  | 2.270  | - 0.1408 E -1 | 0.4042 E -4   | —           | —             |
| 山下法(梯形)                | 0.77432 E -2 | 0.606 E -4  | 2.272  | - 0.1491 E -1 | 0.692 E -4    | —           | —             |
| 最小二乘法(LS)<br>(方法1)     | 0.7407 E -2  | 0.1519 E -4 | 2.264  | - 0.8899 E -3 | - 0.1373 E -5 | —           | —             |
| 最小二乘法(LS)<br>(方法2)     | 0.7227 E -2  | 0.1735 E -4 | 2.249  | - 0.5404 E -3 | - 0.1579 E -5 | —           | —             |
| 广义最小二乘法<br>(GLS)       | 0.6338 E -2  | 0.2114 E -4 | 2.1554 | - 0.4504 E -3 | - 0.2068 E -4 | 0.2557 E -2 | - 0.1670 E -2 |
| 递推最小二乘法<br>(RLS)       | 0.7364 E -2  | 0.1703 E -4 | 2.330  | - 0.6898 E -3 | - 0.1509 E -5 |             |               |
| 多步最小二乘法<br>(MSLS-III)  | 0.2478 E -1  | 0.1290 E -4 | 2.224  | - 0.1610 E -2 | - 0.2621 E -5 | 0.3245      | 0.1112 E -2   |

(注):  $C_i$  值是离散型噪声模型参数

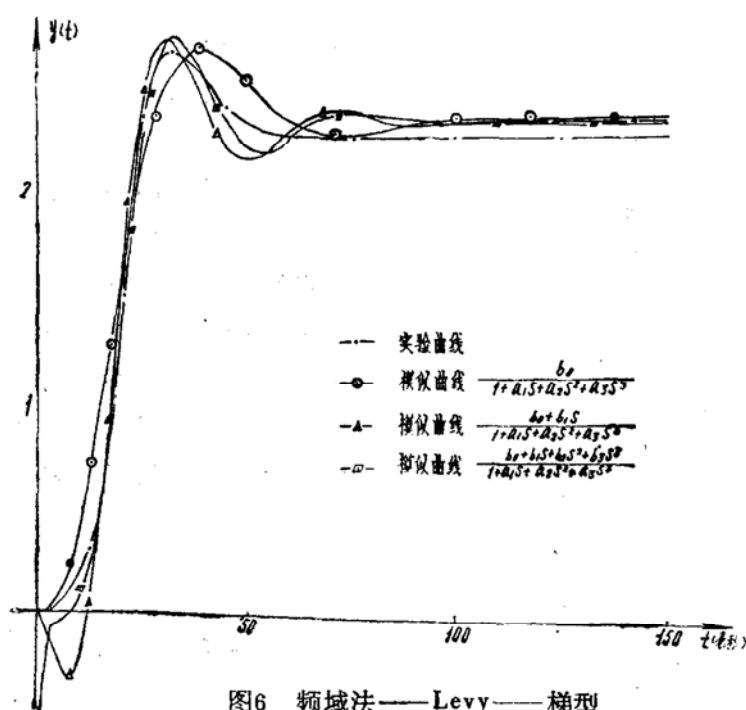


图6 频域法——Levy——梯型

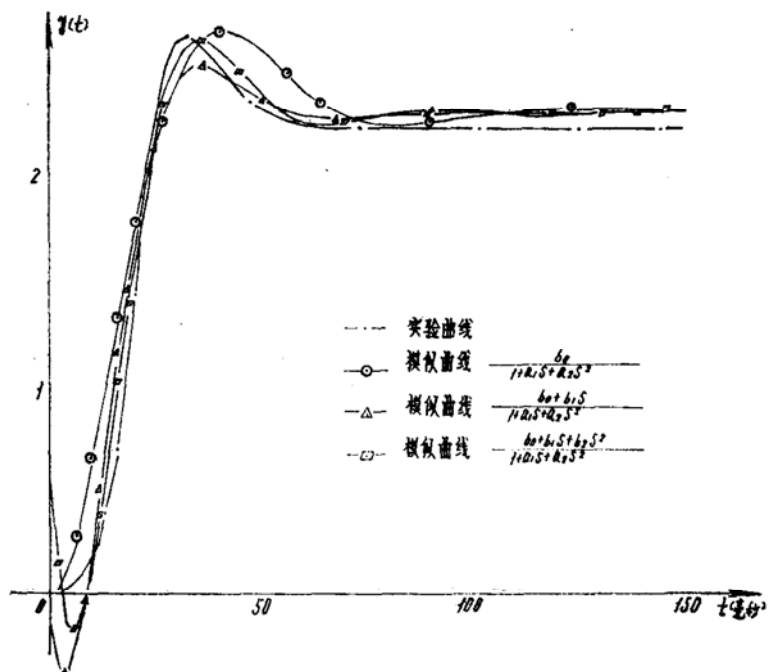


图7 频域法——Levy——梯型

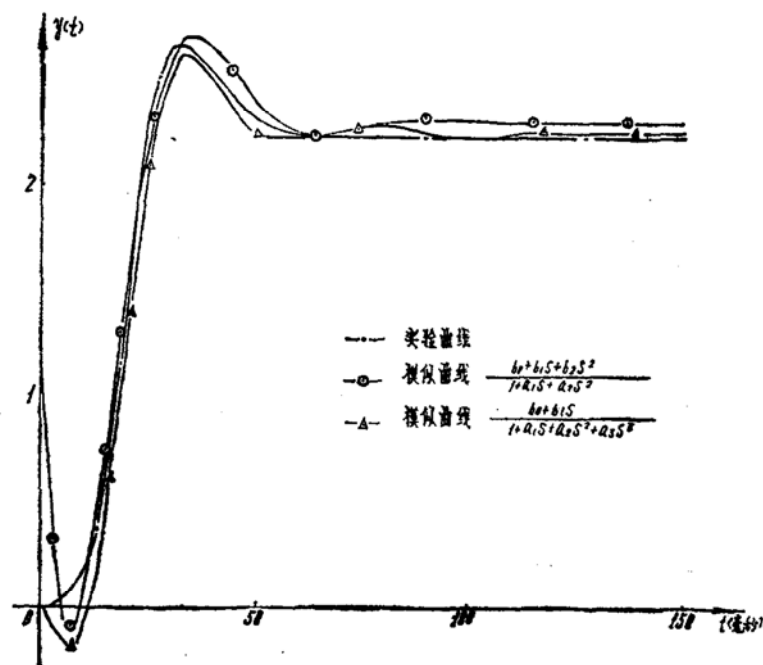


图8 频域法——山下——梯型

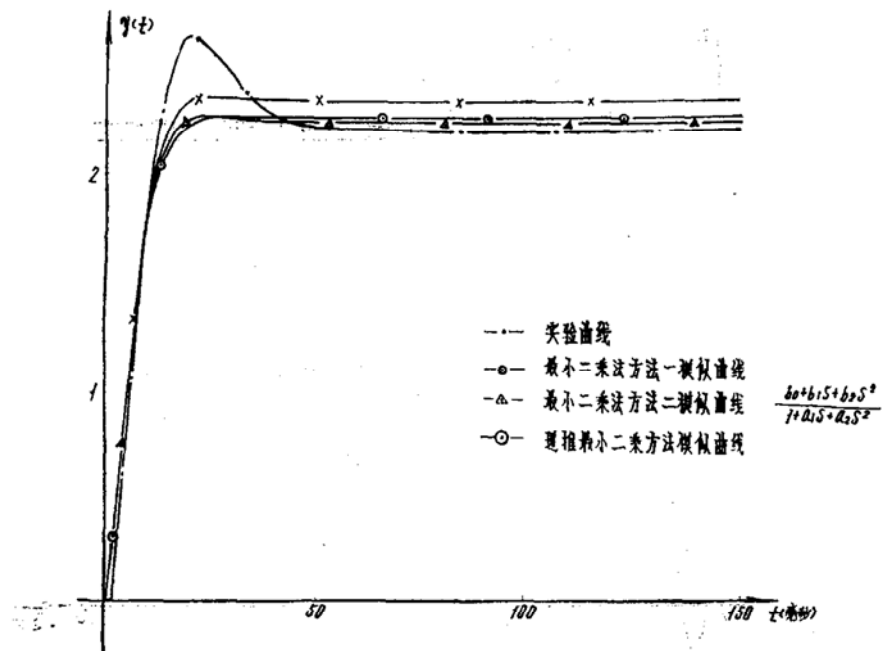


图9 时域法-1

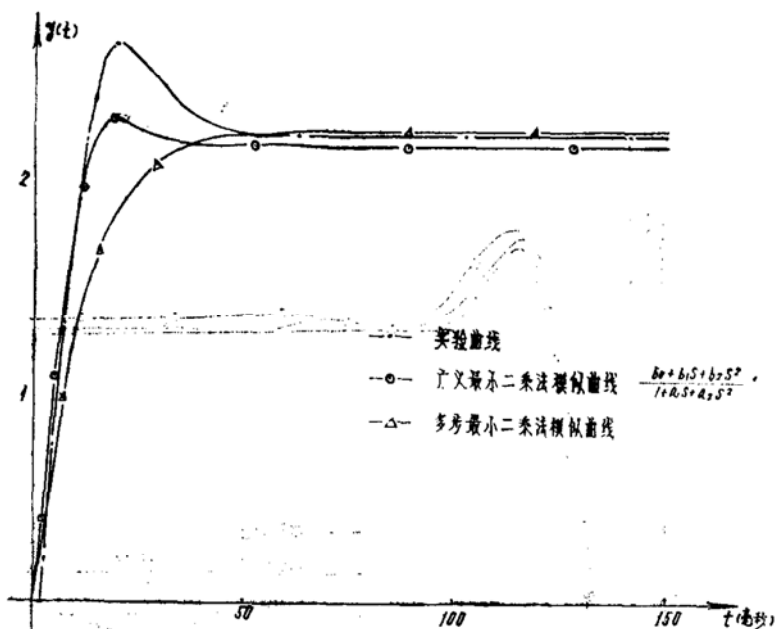


图10 时域法-2

由所列的曲线和表1所列数据可以看出：

(1) 无论频域法还是时域法都能取得较好的辨识结果。其中频域法在经过适当调整频率取样后就可使结果满意。开始是在0~600范围内按十倍频程分段，每段间等差采样来拟合的，结果欠满意，后来在低频段增加若干采样，其结果则令人满意。

(2) 辨识结果的优劣主要决定于输入输出数据来源的可靠、准确。特别是时域方法辨识时对权序列  $\{h(KT)\}$  的前几组要求更苛刻，否则会使拟合结果不好。我们利用  $y(KT) \rightarrow g(KT) \rightarrow h(KT)$  方案辨识时就遇到这个问题，其根本原因是阶跃输入信号不标准，致使响

应 $y(KT)$ 失真所造成。因此，今后应主要采用伪随二位式序列( PRBS)信号激励系统，进行辨识研究，这有利于保证数据的准确性。

(3) 时域法的计算时间要比频域法的计算时间少得多。因此，今后主要应研究时域法的辨识方法。

(4) 广义最小二乘法比最小二乘法更为有效，尤其当残差自相关时，它能提供更精确的估计，而且在辨识过程中，同时估计出一个合适的噪声模型。

(5) 递推最小二乘法是实施在线实时辨识的关键，它可以利用新的实验数据不断刷新，改进我们的参数估计应当给予重视。

## 五、结语

发动机系统的辨识研究工作才刚刚开始，许多工作还是初步的。但是，结果已表明发动机系统的辨识研究是十分重要的，它可以提高建立数学模型的准确度和效率，而且为自校正控制的实现奠定了基础。因此，应当引起从事发动机系统设计、研究、分析的同志们的注意。

## 参考文献

- [1] 周锡文：变推力火箭发动机控制系统调节性能分析。宇航学报，№1, 1982年。
- [2] 熊光楞，周蔚吾：IDENT—一个线性系统辨识的计算机辅助程序。信息与控制，№6, 1983年。
- [3] (美)夏天长著，熊光楞，李芳云译：系统辨识——最小二乘法。清华大学出版社。